

Gjeologji

DISA MENDIME PËR GJELOGJINË, PËR NDËRTIMIN STRUKTUROR DHE PËR MINERALIZIMIN SULFUROR TË BREZIT LINDOR TË ZONËS SË MIRDITËS

— PANO ÇAKALLI*, VEHAP BEZHANI* —

Trajtohen probleme të strukturës, të kushteve të lokalizimit e të gjenezës së mineralizimit sulfuror të bakrit në brezin lindor të ofioliteve të vendit tonë, që i përket serisë ofuzivo-sedimentare.

H Y R J E

Partia jonë e lavdishme e Punës, ashtu si për të gjitha problemet e mineraleve të tjera të dobishme të vendit tonë, edhe kërkimit, nxjerrjes, përpunimit të mineraleve të bakrit i ka kushtuar një vëmendje të veçantë.

Në Kongresin e 8-të të PPSH shoku Enver Hoxha theksoi:

«Gjeologëve dhe gjithë kërkuesve të tjerë të mineraleve u vihet detyra që, mbi bazën e përgjithësimeve e të ligjësive shkencore, duke përdorur me guxim metoda të reja e komplekse, si dhe duke përsosur organizimin e punës, të rritin efektivitetin e shpimeve dhe rezervat e këtyre mineraleve, sidomos në minierat ekzistuese, të zbulojnë minerale e vendburime të reja në masivet me perspektivë e të pasqyrlura».

Për zhvillimin e industrisë së bakrit, një peshë të rëndësishme zë kërkimi në «serinë vullkanogjeno-sedimentare», brenda së cilës janë zbuluar disa vendburime dhe pika të mineralizuara. Nga punimet tematiko-përgjithësuese të kryera këto vitet e fundit në këtë rajon, janë marrë të dhëna të reja për ndërtimin gjeologo-strukturor të «serisë vullkanogjeno-sedimentare» dhe për mineralizimin sulfuror, që lidhet me të, të-cilat shkurtimisht po i trajtojmë në këtë artikull.

TË DHËNA LIDHUR ME STUDIMET E KRYERA

Për ndërtimin gjeologo-strukturor të rajonit, në tërësi, në të cilin pérhapet «seria vullkanogjeno-sedimentare» e brezit lindor të zonës së Mirditës, kanë ekzistuar dhe ekzistojnë mendime të ndryshme.

Ka autorë (5, 9, 10, 11), që formacionin efuzivo-sedimentar e marrin të formuar gjatë triasikut të poshtëm — të mesëm. Krahu perëndimor i strukturës së Gjegjanit përbën për ta një monoklinal me rënie

* Institut i studimeve dhe i Projekteve të Gjeologjisë në Tiranë.

Perspektiva e tij duhet parë në shtrirje, në rënien dhe nën buzët lindore të përhapjes së shkëmbinjve ultrabazikë. Pozicioni litologo-stratigrafik i këtij tipi të mineralizimit është i qartë: në serinë efuzivo-sedimentare, dhe lidhet me vullkanizmin bazik të kësaj serie.

5 — Mineralizimi sulfuror i përhapur në shkëmbinjtë metamorfikë ka rëndësi, si një tip më vete, me karakteristika të veganta strukturore-teksturore dhe mineralogjike. Ai mund të jetë me origjinë hidrotermalo-metasomatike, si rezultat i prurjeve të hidrotermave nga nën-kora gjatë e pas dyndjes së ofioliteve të Mirditës së Brendshme mbi serinë efuzivo-sedimentare jurasike, gjatë metamorfizmit krahinor.

LITERATURA

- 1 — Bezhani V., Qirinxhi A. Qirici V. — Kushtet e lokalizimit të mineralizimit sulfuror të bakrit në rajonin e Gjegjanit dhe orientimet lidhur me kriteret e kërkimit të këtij tipi të mineralizimit. Tiranë, 1975.
- 2 — Bezhani V., Çakallı P., Avxhiu R. — Projekti i punimeve tematike për rajonin Gjegjan — Mbasdejë. Tiranë, 1981.
- 3 — Bezhani V., Çakallı P. etj. — Relacion i punimeve fushore të kryera në rajonin Morinë — Gurlurë. Tiranë, 1981.
- 4 — Bezhani V., Çakallı P. etj. — Rreth perspektivës së kërkimit të mëtej-shëm të mineralizimit të bakrit në brezin efuzivo-sedimentar Gjegjan — Arrënmollë, Tiranë, 1982.
- 5 — Çaku Q. — Raport paraprak për rezultatet e punimeve gjeologjike të kërkimit, të rilevimit në shkallën 1 me 10 000 dhe të zbulimit të vendburimit të Gjegjanit. Kukës, 1962.
- 6 — Çina A. — Disa të dhëna për mineralogjinë e xehororëve të vendburimit të bakrit Gjegjan. Tiranë, 1963.
- 7 — Daja E., Vranaj A. — Raport për punimet gjeofizike të kryera në rajonin e Gjegjanit Jugor dhe në Morinë. Tiranë, 1974.
- 8 — Kodra A., Gjata K. — Ofiolitet në kuadrin e zhvillimit gjeotektonik të Albanideve të Brendshme. Bul. Shkenc. Gjeol., nr. 2, 1982.
- 9 — Qirici V., Hallaci H., Vataj Sh. — Projektet vjetore të kërkimit për vitet 1976, 1977, 1981.
- 10 — Spiro A. etj. — Informacion për rezultatet paraprake të punimeve kërkimore tematike në rajonin Morinë-Pobreg dhe në vendburimin e Gjegjanit. Tiranë, 1967.
- 11 — Shallo M. etj. — Raport për punimet kërkimore tematike për vlerësimin e perspektivës për xehororë të pasur sulfurorë në brezin Morinë — Selishtë. Tiranë, 1968.
- 12 — Bezhani V., Çakallı P., Turku I. — Mekanizmi rrugët e formimit dhe prejardhja e mineralizimit sulfuror në shkëmbinjtë vullkanogjenë të Mirditës Qendrore. Studime Gjeologjike, nr. 3. Tiranë, 1982.

Dorëzuar në redaksi
në gusht 1982.

Summary

SOME OPINIONS ON GEOLOGY, STRUCTURAL CONSTRUCTION AND SULPHUR MINERALIZATION OF THE EASTERN BELT OF THE MIRDITA ZONE

This study deals with problems of structure, setting localization conditions, genesis of the sulphur mineralization of copper at the eastern belt of the ophiolites of our country, in effusive-sedimentary serie.

Rocks of the effusive-sedimentary serie are seen as separated in time from the ophiolites of the «Mirdita» zone, as the first phase of their eruption over Triassic-Jurassic carbonaceous basement. This phase is followed with the opening and spreading of oceanic crust with the ontcrop of ophiolites presented by the effusive-basic-ultrabasic complex of central Mirdita. On this bases is seen the open perspective for the discovery of mineralization of volcanogenous-sedimentary origine not only at the surface of extention of this serie but also at the easterns margins of the ultrabasic massives which covers this serie. This article treates also the mineralization of the dispersed type, which is localized in metamorphic rocks and is considered of an hydrothermal-metamorphic origine.

Fig. 1. Geological-structural section at the Bushati stream.

1. Cretaceous limestones; 2. Ferronickeliferous alienate core; 3. Ultrabasic rocks; 4 Metamorphic rocks; 5 Black argillic-coal shales; 6. Effusive (diabase) rocks; 7. Diping elements; 8. Verified contact; 9. Supposed contact.

Fig. 2. Columns of the underground ore body.

- a. Hematite argillic-siliceous shales; b. Chloritized diabasic shales with rare pyrite drops; c. Chloritized diabasic shales with frequent pyrite drops; c. Pyrite-chalcopyrite massive ore (body 1); d. Hematite massive cherts; dh. Argillic-siliceous-hematite shales.

1. Massive cherts with diabasic interlayers at their upper part; 2. Chalcopyrite-pyrite massive ore (body 2); 3. Hematite cherts with sulphur mineralization; 4. Cloritized diabasic shales with rare pyrite drops; 5. Pyrite-chalcopyrite massive ore (body 1); 6. Hematite massive cherts; 7. Argillic-siliceous-hematite shales.

Fig. 3. Columns of ore body on the surface.

- a. Albitic diabases; b. Cherts with drops of sulphur and magnetite (muscetovite) mineralization; c. Pyrite-chalcopyrite massive ore (body 2); c. Diabasic shales with drops of sulphure mineralization; d. Pyrite-chalcopyrite massive ore (body 1); dh. Argillic-siliceous radiolaritic shales.
1. Albitic diabases; 2. Cherts with sulphur and magnetite (muscetovite) drops; 3. Pyrite-chalcopyrite massive ore (body 2); 4. Diabasic shales with sulphur drops; 5. Upper part of the first body.

Fig. 4: Generalized geological section of the northern part of the studied region.

1. Ultrabasic rocks; 2. Amphibole-chlorite-sericite shales; 3. Effusive basic (diabase) rocks; 4. Black shales; 5. Radiolaritic shales; 6. Marls; 7. Limestones of T₃-J₂; 8. Fault; 9. Extension elements.

SHKËPUTJET E REJA VEPRUESA NË RAJONIN PËRRETH LIQENIT TË FIERZËS DHE SFORCIMET KRYESORE NORMALE TË PËRCAKTUARA NË BAZË TË TYRE

— SHYQYRI ALIAJ*, BETIM MUÇO* —

Në bazë të vendosjes hapësireore të rrafshive të shkëputjeve, të reja dhe të lëvizjeve gjatë tyre, janë përcaktuar sforcimet kryesore normale. Bëhen përgjithësime e jepen mendime për fushën e sforcimeve tektonike, që ka vepruar gjatë etapës neotektonike, si dhe për atë që vepron në ditët tona (duke riaktivizuar shkëputjet e reja e duke gjeneruar tërmete gjatë tyre) në rajonin përreth liqenit të Fierzës.

Për ngritjen e Hidrocentralit gjigant «Drita e Partisë», u krijua liqeni i madh i Fierzës. Struktura e re e rajonit përreth këtij liqeni u studiuva vite më parë (9); ndërsa për studimin e hollësishëm të gjeometrisë së rrafshive të shkëputjeve të reja vepruese u kryen vrojtime fushore plotësuese gjatë verës së vitit 1981. Këto të dhëna u projektuan në rrjetën e Lambertit dhe, në bazë të tyre, u përcaktuan sforcimet kryesore normale, rezultatet e të cilave paraqiten shkurtimisht në këtë shkrim.

1 — Lidhur me strukturën neotektonike të rajonit përreth liqenit të Fierzës

Rajoni i studiuar përfshihet kryesisht në zonën malore qendrore me prirje mbizotëruese në ngritje dhe me lëvizje diferencale intensive gjatë statit neotektonik (10). Struktura e tij është koklavitur nga sisteme të ndryshme shkëputjesh të reja, që vëçojnë brendapërbrenda tij njësi morfo-strukturore të rendeve më të ulta. I shëmbellën një mo-

* Qendra Sismologjike e Akademisë së Shkencave të RPS të Shqipërisë.

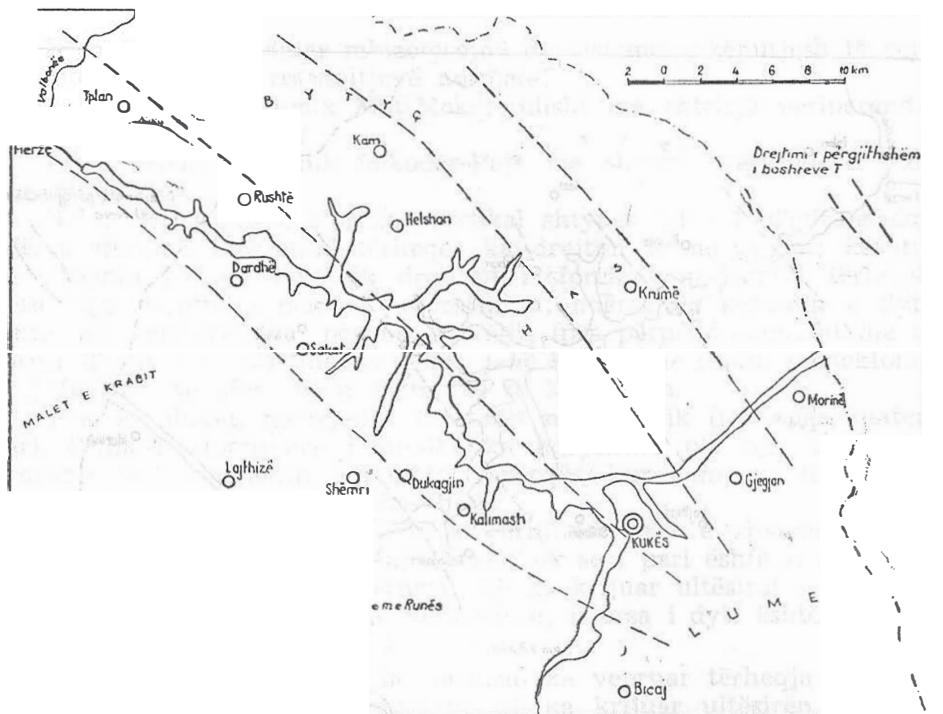


Fig. 8: FUSHA E SFORCIMEVE HORIZONTALË TËRHEQËSE GJATË PLIOCEN-KUATERNARIT DHE SOT NË RAJONIN PËRRETH LIQENIT TË FIERZËS.

LITERATURA

1. Aliaj Sh. — Sizmotektonika dhe kriteret gjeologjike të sizmicitetit të Shqipërisë. Disertacion. Tiranë, 1979.
 2. Angelier J. et Mechler P. — Sur une méthode graphique de recherche des contraintes principales également utilisable en tectonique et en séismologie: la méthode de diédres droits. BSGF (7), t. XIX, nr. 6, p. 1309-1318. 1977.
 3. Gzovskij M. V. — Osnovi tektonofiziki. 1975.
 4. Harta Gjeologjike e Shqipërisë në shkallën 1 me 200 000 (maket). Tiranë, 1981.
 5. Holmes A. — Principles of Physical Geology. 1972.
 6. Ritsema A. R. — Fault plane mechanism of Balkan earthquakes. Proc. of the Seminar on Seismotectonic Map of Balkan Region, Skopje, 1974.
 7. Scheidegger A. M. — Principles of Geodynamics. 1963.
 8. Sulstarova E. — Sizmiciteti i Shqipërisë, Disertacion, Tiranë, 1975.
 9. Sulstarova E., Aliaj Sh., Koçaj S., Muço B. — Sizmiciteti i pellgut të Drinit dhe i zonës përreth Hidrocentralit «Drita e Partisë» në Fierzë. Tiranë, 1979.
 10. Sulstarova E., Koçaj S., Aliaj Sh. — Rajonizimi sizmik i RPS të Shqipërisë. Botim i Akademisë së Shkencave të RPS të Shqipërisë. Tiranë, 1980.
- Dorëzuar në redaksi
në prill 1982.

S u m m a r y

THE NEW ACTIVE FAULTS IN THE ZONE AROUND THE FIERZA LAKE AND MAIN NORMAL STRESSES DETERMINED ON THEIR BASIS

This study is a result of careful observations in the terrain and of the elaboration of the obtained data for new active faults in the zone around the Fierza lake.

Some main conclusions are as follows:

1. The Fierza lake is situated over the morphostructural units with subsiding tendency in modern times and concretely of the Dardha-Has-Shëmri lowland, the Kukësi lowland and of the Morinë-Gjegjan graben. These morphostructural units border the blocks of the surrounding mountainous uplifts through the new tectonic faults, very well expressed in relief.
2. The new tectonic faults have an extention mainly to the NE and to the NW and less submeridional-latitudinal and represents normal conjugated faults with abrupt dipping (over 60° , as a rule). They are represented by crushing zones within which are observed sliding reflections with abundance.
3. The main normal stresses, determined on the basis of the orientation of the fault planes and motions in the sliding reflections with stereographic projection in the network of Lambert, result as follows: The axis of compression stresses is near the vertical, while the axis of tension-horizontal is almost cross with extension of new faults. It is thought that in Pliocene-Quaternary and at the present, the zone around Fierza lake is situated in horizontal tension NW-SE. This field of tectonic stresses is active even today by reactivating new faults and generating earthquakes throughout their.

Fig. 1. The map of the new tectonic faults in the zone around the Fierza lake.

Note: All tectonic faults represented here are normal faults.

Fig. 2. Cross geologic profile at the Dardhë-Has-Shëmri lowland.

1. Ultrabasic rocks; 2. Gabbros; 3. Plagiogranites; 4. The Middle Triassic effusive-sedimentary serie of Gjegjani; 5. Limestones of Upper Triassic; 6. Lower Cretaceous deposits; 7. Plio-Quaternary molasses; 8. Normal tectonic faults.

Fig. 3. Cross geologic profile at the Kukësi lowland.

Note: The vertical and horizontal scale is the same for fig. 3 and 4.

Fig. 4. Cross geologic profile at the Morinë-Gjegjan graben.

Fig. 5a. The solution of the mechanism of the tectonic fault at the Kam-Përrroi i Skatinës.

Fig. 5b. The solution of the mechanism of the tectonic fault at the Helshan.

Fig. 5c. The solution of the mechanism of the tectonic fault at the Ura e Krumës.

Fig. 5ç. The solution of the mechanism of the tectonic fault at the Përrroi Leshnicë-Kukës.

Fig. 5d. The solution of the mechanism of the tectonic fault at Shëmri.

Fig. 5dh. The solution of the mechanism of the tectonic fault at the Përrroi Bytyçit.

Fig. 5e. The solution of the mechanism of the tectonic fault at Kam.

Fig. 6. The main normal stresses on the base of the setting of new tectonic faults and of the motion on their plans at the zone around Fierza lake.

1. New tectonic fault; 2. The pressure stress; 3. The tension stress.

Note: The stress axes have been projected on the horizontal plane with the cossinus of their dipping angle.

Fig. 7. The field of horizontal tension stresses during Middle-Late Miocene in the zone around the Fierzë lake.

Fig. 8. The field of horizontal tension stresses during Pliocene-Quaternary and today in the zone around the Fierzë lake.

Résumé

LES ACCIDENTS NÉOTECTONIQUES ACTIFS AUTOUR DE LA ZONE DU LAC DE FIERZË ET LES CONTRAINTES PRINCIPALES NORMALES DÉTERMINÉES PAR EUX

L'article est le résultat d'observation dans le terrain et des analyses des données obtenues pour les accidents néotectoniques actifs autour de la zone du Lac de Fierzë.

On y ressore quelques conclusions dont les principales sont les suivants.

1 — Le Lac de Fierzë se situe sur un socle morpho-structural à une tendance de subsidence dans l'époque contemporaine et concrètement: la dépression de Dardhë-Has-Shëmri, la depression de Kukës et de graben de Morinë-Gjegjan. Ces unités morpho-structurales limitent avec les blocs montagneux par les accidents néotectoniques exprimés bien en relief.

2 — Les accidents néotectoniques ont une extention essentielle NE et NO, subméridionale-latitudinale et ils présentent des failles normales conjuguées à une pente très forte (normalement plus de 60°). Ils se présentent des zones écrasées dedans lesquelles on y observe des plusieurs plans de glissement.

3 — Les contraintes principales normales déterminées par l'orientation des plans des accidents et des mouvements aux plans des glissements aux projection stéréographiques de la maille de Lambert résultent ci dessous:

L'axe de la contrainte de compression est presque verticale, tandis que l'axe de la contrainte de dilatation est près horizontale et presque transversale à l'extension des accidents néotectonique. On pense qu'au Plio-Quaternaire et aujourd'hui la zone autour du Lac de Fierzë se trouve en l'attraction horizontale NO-SE. Ces champs des contraintes tectoniques agissent ainsi dans notre jours en reactivant les accidents néotectonique et en générant les tremblements de terre.

Fig. 1: Carte des accidents néotectoniques autours de la zone du Lac de Fierzë.

Note: Tous les accidents tectoniques présentés sont les failles normales

Fig. 2: Coupe géologique transversale de la dépression Dardhë-Has-Shëmri.

1 — Roche ultrabasique; 2 — gabbro; 3 — plagiogranite; 4 — série effusivo-sédimentaire du Triasique de Gjegjan; 5 — calcaire du Triasique supérieur; 6 — dépôts du Crétacé inférieur; 7 — molasse Plio-Quaternaire; 8 — failles normales.

Fig. 3: Coupe géologique transversale de la dépression de Kukës.

Note: Les échelles verticale et horizontale sont les mêmes pour les figures 3 et 4.

Fig. 4: Coupe géologique transversale dans le graben Morinë-Gjegjan.

Fig. 5: Solution du mécanisme des accidents tectonique. 5a — dans Kam — le torrent de Skatina.

Fig. 5b: dans l'Helshan.

Fig. 5c: en Pont de Krume.

Fig. 5c: au torrent Leshnica-Kukës.

Fig. 5d: en Shëmri.

Fig. 5dh: au torrent de Bytyç.

Fig. 5e: en Kam:

Fig. 6: Les contraintes principales normales basé sur l'établissement des accidents néotectoniques et des mouvements dans leur plans, autour du Lac de Fierzë.

1 — Les accidents néotectoniques; 2 — la contrainte de l'attraction.

Note: Les axes des contraintes sont projetées en plan horizontal à cossinus d'angle de leur pente.

Fig. 7: Le domaine des contraintes horizontales de l'attraction pendant la Miocène moyenne et supérieur autour de la zone du Lac de Fierzë.

Fig. 8: Le domaine des contraintes horizontales de l'attraction pendant période du Plio-Quaternaire et contemporaine autour de la zone du Laç de Fierzë.

DISA MENDIME PËR TRAJTËN E PËRHAPJES SË SHKËMBINJVE OFIOLITIKË TË VENDIT TONË

LLAMBI LANGORE*, SALVATOR BUSHATI*, NIHAT LIKAJ*

Jepen trajta dhe përhapja e shkëmbinjve ofiolitikë duke u mbështetur në interpretimin e vrojtimeve gravimetrike e magnetometrike e duke bërë krahasimin e lakoreve faktike me ato që mund të jasin modelet fizike më të përshtatshme.

Falë kujdesit të vazhdueshëm të Partisë sonë të lavdishme të Punës dhe udhëheqësit të dashur të Partisë e të popullit tonë shokut Enver Hoxha, edhe gjeologët tanë kanë realizuar arritje të rëndësishme në fushën e kërkimeve dhe të studimeve gjeologjike.

Harta e re Gjeologjike e Shqipërisë në shkallën 1 me 200 000 është një nga këto arritje me shumë vlerë. Ajo u përpilua në bazë të një punë të madhe studimore, gjeologo-rilevuese e punimesh komplekse gjeofizike të kryera posaçërisht për këtë qëllim. Në të janë pasqyruar të gjitha arritjet e punimeve rilevuese, përgjithësuese, komplekse gjeofiziko-gjeokimike, si dhe rezultatet e punimeve të kërkim-zbulimit të vendburimeve të minraleve të dobishme.

Punimet gjeofizike, gravimetrike e magnetometrike të kryera në zonat e brendshme në kuadrin e përpilimit të Hartës Gjeologjike të Shqipërisë në shkallën 1 me 200 000, si dhe rezultatet që po fitohen me këto metoda në rilevimet me shkallë më të vogla për një sërë rajonesh të përhapjes së shkëmbinjve ofiolitikë, na jasin mundësi të gjykojmë më objektivisht lidhur me trajtën e përhapjes së tyre, çka përbën një problem me rëndësi të madhe, jo vetëm për nga pikëpamja gjeologjike, por edhe nga pikëpamja metalogjenike.

Nga hartografimi gjeologjik del se shkëmbinjtë ultrabazikë të vendit tonë formojnë dy breza pothuaj paralelë njëri me tjetrin, me shtrirje të përgjithshme afromeridionale, me ndërprerje të rralla e të vogla dhe me gjatësi të përgjithshme rrëth 260 km (shih fig. 1).

Shkëmbinjtë ultrabazikë janë përbërësit kryesorë të kompleksit ofiolitik të zonës së Mirditës. Në lidhje të ngushtë me ta takohen edhe shkëmbinjtë gabrorë dhe efuzivë, që ndërtojnë pjesët më të sipërme të prerjes ofiolitike. Në krahun perëndimor e lindor kufizohen me shkëmbinjtë sedimentarë triasiko-jurasikë e jurasiko-kretakë; ndërsa mbi

* Ndërmarrja Gjeofizike e Tiranës.

së gravitetit shkaktohet si pasojë e kësaj ngopshmërie, por duam të tregojmë se krombartja më intensive lidhet ndoshta me një pozicion të caktuar të masës ultrabazike.

4 — Punimet gravimetrike e magnetometrike, që vazhdojnë, nevojitet të kryhen për ndërtimin e hartave kondicionale në shkallën 1 me 200 000 për këto fusha fizike. Ato jo vetëm do saktësojnë plotësisht formën dhe marrëdhëniet e këtyre shkëmbinjve, por do të hedhin drithë për trajtën e bazamentit kristalin, do të fiksojnë thyerjet e sistemeve të larta, pra do të ndihmojnë në rajonizimin tektonik të vendit tonë.

LITERATURA

- 1 — Arapi S., Meçe T. — Rezultatet e punimeve gjeofizike komplekse për tekstin e hartës së re gjeologjike të RPSSH në shkallën 1 me 200 000. Tiranë, 1982.
2. — Bushati S., Lika N. — Disa rezultate të punimeve gravimetrike e magnetometrike për hartën e re gjeologjike të RPSSH në shkallën 1 me 200 000. Tiranë, 1981.
- 3 — Bushati S., Lika N., Langore LL. — Rezultatet e punimeve gjeofizike komplekse për tekstin e hartës së re gjeologjike të RPSSH në shkallën 1 me 200 000. Tiranë, 1982.
- 4 — Caslli H. — Disa aspekte petrologjike të ofioliteve të Shqipërisë. Firence, 1981
- 5 — Dede S. — Mbi ligjësitë e përhapjes së mineralizimeve në shkëmbinjtë ultrabazikë të Shqipërisë. Bul. i USHT, ser. shkenc. nat., nr. 1, Tiranë, 1969.
- 6 — Lubonja L., Frashëri A., Spiro A. — Përdorimi i gravimetrisë për studime krahinore në vendin tonë. Përbledhje Studimeesh, nr. 7, 1967

Dorëzuar në redaksi
në mars 1983.

Summary

SOME OPINIONS ON THE SHAPE OF OPHIOLITIC ROCKS OF OUR COUNTRY BASED IN INTERPRETING OF THE GRAVIMETRIC AND MAGNETOMETRIC OBSERVATIONS.

The achievements of our geologists in the field of geological research and studies are a result of the valuation and concern of the Party and comrade Enver for geology.

The new Geologic map of the PSR of Albania (scale 1 : 200 000) is the achievement of plotting studies, geological generalizations, geophysical and geochemical work.

Through gravimetric and magnetometric works carried out so far, a more objective judgement can be given on the shape of ophiolitic rocks of our country. 1. In the studied regions, ophiolitic rocks along eastern belt have a high thickness and theirs shape may geometrized by a prisme with trapezoidal sections; the upper base large, the lower base small.

2. The ophiolites of western belt are of a limited thickness (0,5-2,5 km). 3. The anomaly axis of the gravitational field or the centre of the prism of

continuation in depth, which passes from Qafë Prushi to Kepenek, Kalimash, Maja e Runës, slightly to the east of Bulqiza and Batra ore deposits is concordant with the more chromebearing sectors which are known so far and not claiming that the anomaly of gravitational forces is directly linked to a fixed position of ophiolitic mass.

4. The gravi-magnetometric works which continue to be carried out for the drawing of levelling maps (scale 1:2 000 000) of these physical fields, not only that they define shape and relations between rocks, but they will also throw light upon the shape of cristaline basement, will fix faults of the high systems, so they will help in the tectonic regionization of our country.

Fig. 1. Schematic map of distribution of the ultrabasic rocks of Albania.

1. The Kukësi massive; 2. The Lura massive; 3. The Bulqiza massive;
4. The Shebeniku-Pogradeci massive; 5. The Tropoja massive; 6. The Krabi massive; 7. The Puka massive; 8. The Comsiqe massive; 9. The Pilindardë-Rrëshenj massive; 10. The Skënderbeu massive; 11. The Shpati massive; 12. The Devoll massive; 13. The Vallamara massive; 14. The Voskopojë-Vithkuq-Miraka massive; 15. The Barmash-Leskoviku massive.
- a. Gravimetric section; b. The greatest depth of ultrabasic rocks.

Fig. 2. The sample of mechanic reckoning about the main anomalies = 0,3 g/cm³.

Fig. 3. The Klosi-Shupenza geological-geophysical section.

1. Cover; 2. Magmatic rocks; 3. Limestones.

Fig. 4. The Shkodra-Kallabaku geological-geophysical section.

1. Ophiolites; 2. Sedimentary deposits.

Fig. 5. The Gash-Qafëlushë-Iballë geological-geophysical section.

1. Ultrabasic rocks; 2. Effusive rocks; 3. Limestones; 4. Sedimentary deposits; 5. Granites.

Résumé

QUELQUES IDÉES SUR LA FORME DES ROCHES OPHIOLITIQUES DE L'ALBANIE BASÉES SUR LES INTERPRETATIONS DES OBSERVATIONS GRAVIMÉTRIQUES ET MAGNETOMÉTRIQUES

Les arrivés acquis par notre géologues dans le domaine de la prospection et des études géologiques sont résultats de l'appréciation et de la précaution continues du Partie et du Camerade Enver Hoxha consacrées le secteur de la géologie.

La nouvelle carte géologique de la RPS d'Albanie d'échelle de 1 200 000 est résultat d'études géologiques et des travaux généralement, géologiques, géophysiques et géochimiques.

On peut juger objectivement sur la forme des roches ophiolitiques de notre pays selon les travaux gravimétriques et magnetométriques effectuées jusqu'à aujourd'hui.

1 — Dans les régions étudiées les roches ophiolitiques de la bande orientale ont une grande épaisseur, et leur forme l'on peut désigner comme une prisme à une coupe trapezoidale avec une grande base au dessus et une petite base au dessous.

2 — Les ophiolites de la bande occidentale ont une épaisseur limitée de 0,5 à 2,5 km.

3 — L'axe d'anomalie du champs de la pesenteur, soi, le centre du prisme à continuité en profondeur, qui poursuit parmis le sol de Prushit, en Kepenek, Kalimash, montagne de Rune, a Est des gisements de Bulqizë et de Batre, en coincideant à des grands secteurs de la localisation du chrome. Les auteurs pensent que, cet anomalie de la pesenteur, n'est directement lié à la mineralisation chromifère, mais par la position determiné de la masse ophiolitique.

4 — Les travaux gravi-magnetometrique l'échelles de 1:200 000 précisent entierement non seulement la forme et les relations entre les roches, mais aussi la forme du socle cristalin et les distinctions des sistemes d'accidents du degré superieur, donc, ils nous aident à la régionalisation tétonique de notre pays.

Fig. 1: Carte schematique de répartition des roches ultrabasiques en Albanie.

1 — Massif de Kukës; 2 — massif de Lure; 3 — massif de Bulqizë; 4 — massif de Shebenik-Fogradec; 5 — massif de Tropoë; 6 — massif de Krab; 7 — massif de Pukë; 8 — massif de Gomsiqe; 9 — massif de Pilinardë-Rrëshen; 10 — massif de Skënderbe; 11 — massif de Shpat; 12 — massif de Devoll; 13 — massif de Vallamarë; 14 — massif de Voskopojë-Vithkuq-Mirakë; 15 — massif de Barmash-Leskovik.

a — Coupe gravimetrique; b — la plus grande profondeur du roche ultrabasique.

Fig. 2: Le modèle de calcul mécanique des anomalies principales $\Delta\sigma = 0,3 \text{ g/cm}^3$.

Fig 3: Coupe géologo-géophysique Klos-Shpenzë.

1 — Couverture; 2 — roches magmatiques; 3 — calcaires.

Fig. 4: Coupe géologo-géophysique Shkodër-Kallabak.

1 — Ophiolite; 2 — les dépôts sédimentaires.

Fig. 5: Coupe géologo-géophysique Gash-Qafçluzhë-Iballë.

1 — Roches ultrabasiques; 2 — roches effusives; 3 — calcaires; 4 — dépôts sédimentaires; 5 — granite;

Petrografi - Petrokimi

ASPEKTE TË PETROLOGJISË SË MASIVIT ULTRABAZIK TË BULQIZËS

— AGIM DOBI*, VASIL KOTANI* —

Shtjellohen disa të dhëna petrografike, petrokimike dhe gjeokimike të masivit ultrabazik të Bulqizës, në bazë të të cilave bëhet përcaktimi i premisave të mineralizimit endogen.

Vendimet historike të Kongresit të 8-të të PPSH dhe mësimet e shokut Enver Hoxha përbëjnë një program madhështor për punën shkencore në shërbim të zhvillimit perspektiv të vendit tonë dhe nxjerrin detyra shumë të rëndësishme në fushën e gjeologjisë. Lidhur me to, janë ndërmarrë një varg studimesh, si nga shërbimi gjeologjik Shqiptar, në tërësi, ashtu edhe nga kolektivi punonjës i Institutit të Studimeve dhe të Projektimeve të Gjeologjisë, me pikësynim që të njihen më mirë pasuritë nëntokësore të vendit tonë dhe kjo studueshmëri të vihet mbi baza më të shëndosha shkencore.

Ky studim paraqet një sintezë të punës kërkimore-shkencore e analitike shumëvjeçare të kryer nga autorët në masivin ultrabazik të Bulqizës për një sërë problemesh të petrologjisë dhe të krombartjes, në kuadrin e kryerjes së temës lidhur me prognozën krombartëse të tij, gjë që shërben si bazë për orjentin e mëtejshëm të punimeve të kërkimit e të zbulimit.

DISA TE DHENA PETROGRAFIKE

Masivi ultrabazik i Bulqizës është një nga përbërësit më të rëndësishëm të grupit formacional ofiolistik me tipare të theksuara alpinotipe. Ndërmjet përbërësve shkëmborë të këtij formacioni mbizotërojnë harzburgitet, pastaj dunitet dhe, rrallë, lercolitet verlitet, piroksenitet e troktolitet. Përbërja minerale dhe kimizmi i këtyre shkëmbinjve flasin për një prirje të theksuar magneziale.

Për të gjitha llojet shkëmbore të mësipërme janë karakteristikë ndërtimi kokrrizor; për peridotitet janë më të shpeshta teksturat brezo-

* Instituti i Studimeve dhe i Projektimeve të Gjeologjisë në Tiranë.

LITERATURA

1. Dede S., Çili P., Sulejmani R., Zyka I. — Mbi ndërtimin gjeologo-strukturor dhe ligjësinë e përhapjes së mineralizimit kromitik në masivin ultrabazik të Bulqizës. Tiranë, 1967.
2. Dobi A. etj. — Studim tematiko-përgjithësues e rilevues për prognozën krombartëse të masivit ultrabazik të Bulqizës. Tiranë, 1980.
3. Lleshi B. — Ndërtimi gjeologjik dhe perspektiva mineralmbartëse e masivit ultrabazik të Lurës. Disertacion. Tiranë, 1983.
4. Gjata K. — Petrologjia dhe perspektiva e nivelit sulfuror dhe e sulfureve të tjera të kompleksit gabroperidotitik të Mirditës Perëndimore. Disertacion. Tiranë, 1980.
5. Kodra A. — Shkëmbinjtë ultrabazik të zonës së Mirditës kanë lidhje të ngushtë moshore e hapësirore me shkëmbinjtë gabroplagjigranitikë e efuvizë. Përmbledhje Studimesh nr. 3. 1971.
6. Qorlaze S. etj. — Gjendja dhe perspektiva e vendburimit dhe e rajonit rreth tij. Bulqizë, 1981.
7. Stërmasi Sh. — Ndërtimi gjeologjik dhe perspektiva e mëtejshme e vendburimeve Krastë-Pylli i Zi. Burrel, 1981.
8. Shallo M. — Magmatizmi i zonave eugeosinklinale të Shqipërisë. Përmbledhje Studimesh, nr. 1, 1972.
9. Shallo M., Vranai A., Dobi A., Karkanaqe Xh. — Vendosja hapësirore e shkëmbinjve ultrabazikë të vendit tonë. Përmbledhje Studimesh, nr. 2, 1981.

Dorëzuar në redaksi
në gusht 1982.

Summary

PETROLOGICAL ASPECTS OF THE ULTRABASIC MASSIVE OF BULQIZA

Ultrabasic massive of Bulqiza is one of the most important components of the ophiolitic formacional group with pronounced alpinotype features. Harzburgites, dunites and rare lherzolites, wehrellites, pyroxenites and troctolites predominate among the rock components of this formation. The granular construction is characteristic for all the above mentioned sorts of rock. In the microscop they have a granular knotty cataclastic panidiomorphous structure.

The rocks of the ultrabasic massive of Bulqiza are of a special metalogenic interest due to their specific chemical composition. The average MgO content in dunites is 42,62% and in harzburgites 40,285%, while the content of SiO₂ in dunites is 36.644%, in harzburgites 40.460%. The petrochemical parametres of the dunitic and harzburgitic members of rock of the ultrabasic massive of Bulqiza assume the respective values as M/F 9 and M/S 1,5, which reveal a high content of magnesium, which is a very proper petrochemical feature for chrombearing potential.

Based on the interpretation of the sections in the massive, on the spacially ratio with the surrounding rocks we admit that gabbronites and troctolites occupy the uppermost levels of the normal section of the ultrabasic massive. Below come the levels of pyroxenites, dunites and at the deepest levels those of the dunitic-harzburgitic interlayering up to harzburgitic rocks.

In metalogenic regionization of the endogenous mineralization of the ultrabasic massive of Bulqiza, the following have been taken into consideration: the geological structural features, their formational composition, the type of mineralization and genetic, petrographic, petrochemical and geochemical features of the types of the rock. On this bases, the following three metalogenic subzones are distinguished in this massive:

1. The metalogenic subzone of the dunitic formation (western belt).
2. The metalogenic subzone of the dunite-harzburgite formation (central belt).
3. The metalogenic subzone of harzburgitic formation (eastern belt).

The chromite mineralization in distribue in the shape of mineralized horizons concordantly with the structure of surrounding rocks.

Fig. 1. The features of Ni, Co, V microelements and M/F, M/F petrochemical parametres.

Fig. 2. The stages of mineralization.

1. Fine magnetite on the surface of the graines;
2. Thin veins;
3. In the shape of spots;
4. Of a dusty structure;
5. — Metamorphization of primary chromshpinelide.

Fig. 3. Scheme of the specialization according to petrochemical parametres.

Fig. 4. Scheme of the specialization according to facies.

The left triangle: 1. Dunite; 2. Orthopyroxene dunite; 3. Dipyroxene dunite; 4. Clinopyroxene dunite; 5-8. Harzburgite; 6-9. Lherzolite; 7-10. Wehrlite; 11. Olivine orthopyroxenite; 12. Olivine websterite; 13. Olivine clinopyroxenite; 14. Orthopyroxenite; 15. Websterite; 16. Clinopyroxenite.

The middle triangle: 1. Anorthosite; 2. Leucocrate norite; 3. Dipyroxenite leucocrate gabbros; 4. Clinopyroxenite leucocrate gabbros; 5. Mesocrate norite; 6. Dipyroxenite mesocrate gabbros; 7. Clinopyroxenite mesocrate gabbros; 8. Melanocratic norites; 9. Dipyroxenite melanocratic gabbros; 10. Clinopyroxenites; 9. Dipyroxenite melanocratic gabbros; 10. Clinopyroxenite melanocratic gabbros; 11. Plagioclase orthopyroxenite; 12. Plagioclase websterite; 13. Plagioclase clinopyroxenite.

The right triangle: 1. Plagioclasite; 2. Leucocratic troctolite; 3. Olivinic leucocrate gabbro; 4. Leucocratic gabbro-norite; 5. Mesocrate troctolite; 6. Mesocrate gabbro-olivine; 7. Mesocrate gabbro-norite; 8. Melanocratic troctolite; 9. Melanocratic gabbro-olivine; 10. Melanocratic gabbro-norite.

R é s u m é

L'ASPECT DE LA PETROLOGIE DU MASSIF ULTRABASIQUE DE BULQIZÉ

Le massif ultrabasique de Bulqizé est une partie du groupe de la formation ophiolitique à caractéristique accentué alpinotype. Dans cette formation predominent les harsburgites, puis les dunites, les lerceolites, les verlites, les pyroxénites et très rarements les troctolites. Pour tous les sortes rocheux ci-dessus la particularité principal est la construction granulaire. En microscope la structure est idiomorphe granulaire noyeux cataclastique.

Les roches du massive ultrabasique de Bulqizé ont une intérresse particulière métallogenique en raison de leur composition chimique spécifique.

La teneur moyenne en MgO dans les dunites est de 42,62% et dans l'harsburgite 40,28%, tandis que, la teneur en SiO₂ dans les dunites est de 36,644% et dans les

harsburgite 40,460%. Les paramm tres p trochimiques des roches du massive ultrabasique de Bulqiz  dans les sortes dunitique et harsburgitique ont les valeur respectivement M/F = 9 et M/S = 1,5, qui montre leur taux  lev  du magn『sium. Cela est une caract ristique p trochimique tr s convenable pour la min『ralisation du chrome.

En se basant sur les interpretations des coupes du massif et leur rapport avec les roches encaissantes, on accepte que les gabronorites et les tractolites sont  tablis dans les niveaux sup rieurs des coupes normales du massive ultrabasique. Au dessous on y  tablient les niveaux du pyroxelite, des dunites et les niveaux d'alternation des dunite-harsburgites, et puis les harsburgites.

Dans la d termination des pr misses de la min『ralisation endog ne du massive ultrabasique de Bulqiz  sont tenus compte: Les particularit s g ologo-structurales, leur constituant formacionel, les types de min『ralisation et les caract ristiques g n tiques, p trographiques, p trochimiques et g ochimiques des sortes rocheux. A cet  gars on distingue trois niveaux de stratification:

- 1 — Le niveaux de stratification dunitique.
- 2 — Le niveaux de stratification dunite-harsburgite et harsburgite-dunite (la ceinture centrale).

- 3 — Le niveaux de stratification harsburgitique.

La mineralisation chromitique, qui est pr sent  par des amas   des dimensions et des morphologies diverses, se situe en sous forme des strates dont la structure est en concordance avec des roches encaissantes.

Fig. 1: Le comportement des micro l ments de Ni, Co, V et des paramm tres p trochimique M/F, M/S.

Fig. 2: Les phase des mineralisations.

1 — Magnetite fin en surface des grains; 2 — petits amas; 3 — sous forme de taches; 4 —   la structure pulv ris e; 5 — le m tamorphisme du chromchpinelite primaire.

Fig. 3: Le sch ma de sp cialisation selon les paramm tres p trochimique.

Fig. 4: Le sch ma de sp cialisation selon les faci s.

Le triangle   gauche: 1 — Dunite 2 — dunite ortopyroxene; 3 — dunite bipyroxene; 4 — dunite clinopyroxene; 5-8 — harsburgite; 6-9 — lerciolite; 7-10 — verlite; 11 — ortopyroxene olivinique; 12 — vebsterite olivinique; 13 — clinopyroxene olivinique; 14 — ortopyroxene; 15 — vebsterite; 16 — clinopyroxene.

Le triangle au milieu: 1 — Anortosite; 2 — norite leucocrate; 3 — gabro bipyroxene leucocrate; 4 — gabro clinopyroxene leucocrate; 5 — norite mesocrate; 6 — gabro bipyroxene mesocrate; 7 — gabro clinopyroxenite mesocrate; 8 — norite melanocrate; 9 — gabro bipyroxene melanocrate; 10 — gabro clinopyroxenite melanocrate; 11 — ortopyroxenite plagioclasique; 12 — vebsterite plagioplasique; 13 — clinopyroxenite plagioclasique.

Le triangle   droite: 1 — Plagioclase; 2 — tractolite leucocrate; 3 — gabro olivinique leucocrate; 4 — gabronorite leucocrate; 5 — tractolite mesocrate; 6 — gabro olivinique mesocrate; 7 — gabro mesocrate; 8 — tractolite melanocrate; 9 — gabro olivinique melanocrate; 10 — gabro norite melanocrate.

PËRBËRJA PETROGRAFIKE DHE SHKALLA E METAMORFIZIMIT TË QYMYREVE TË PELLGUT TË MBORJE-DRENOVËS

POLIKRON VASO*, LLAZAR DIMO*, PETRIKA KITA**

Në artikull jepen të dhëna për përbërjen lëndore të qymyreve të pellgut të Mborje-Drenovës, për disa veti optike të macraleve të qymyreve, mbi bazën e të cilave janë arritur përfundime për shkallën e metamorfizimit të tyre.

KARAKTERISTIKAT GJEOLOGJIKE TË PELLGUT QYMYRGUROR TË MBORJE-DRENOVËS

Pellgu qymyrguror i Mborje-Drenovës përfshin depozitimet oligocenike e miocenike, që shtrihen kryesisht gjatë maleve të Moravës. Këto depozitime janë studiuar nga mjaft autorë. Në këto studime (5, 6, 2, 1, 4, 3) janë dalluar: 1 — Depozitimet e katit stampian (e rupelian), të përfaqësuar, në bazë, nga suita konglomeratike e Mborjes dhe e Dishnicës; mbi të vijojnë suita qymyrmbartëse e Drenovës dhe suita koralore e Drenicës; 2 — depozitimet e katit hatian, të përfaqësuar, në bazë, nga mergelet me Chama dhe suita ranore e Plasës; 3 — depozitimet e katit akuitanian, të përfaqësuar nga suita argjilore e Bozdovecit dhe suita e konglomerateve të Gurit të Capit; së fundi, depozitimet e katit burdigalian, të cilat, edhe këto, janë ndarë (5, 6, 4) në disa njësi litostratigrafike.

I gjithë ky cikël depozitimesh është shtruar transgresivisht mbi depozitimet më të vjetra (nga depozitimet karbonatike triasike, në ato ofiolitike të jurasikut dhe deri në depozitimet eocenike) dhe është mbuluar po transgresivisht nga depozitimet e pliocen-kuaternarit (fusha e Devolit dhe ajo e Korçës).

Duke qenë se për këto depozitime është folur mjaft më parë, do të japid disa të dhëna të shkurtëra vetëm për suitën qymyrmbartëse të Drenovës, me të cilën lidhen shtresat e qymyrit, që janë studiuar.

* Instituti i Studimeve dhe i Projekteve të Gjeologjisë në Tiranë.

** Ndërmarrja Gjeologjike e Korçës.

tet). Kjo na bën t'i fusim në qomyre flakëgjata deri në qomyre brune të shkëlqyeshme.

Ndërtimi teksturor i këtij qomyri është brezor dhe mikrobrezor, i formuar nga ndërthurja e lëndës organike me atë inorganike, si dhe të maceraleve të lëndës organike gjatë sedimentimit. Gjerësia e mikrobrezëzimeve të lëndës inorganike i ë përsaqësuar nga argjila, kuarc, kalciti, dolomiti, piriti, luhatet nga 50-60 mikron deri në 300-500 mikron. Kjo sasi e dukshme në mikroskop përbën 25%, të masës së përgjithshme, gjë që vërteton sasinë e madhe të hirit (50-60%) dhe bën që ky të futet në facien e qomyreve të përziera (qomyr-rreshp qomyror).

Piriti, që përfaqëson pjesën kryesore të squfurit, paraqitet kryesisht në trajtë grumbullimesh me madhësi 200-300 mikron dhe në trajtë pikëzimesh të imta (20-30 mikron) të shpërndara në masën e kolinitit; më rrallë paraqitet si mbushje të çarash dhe zëvendësime izomorfike të semifyzinit të sklerotinitit.

Duke u nisur nga madhësia e kokrrizave të lëndës inorganike themi se çlirimi më i madh i kësaj lënde bëhet pas bluarjes në imtësinë më të vogël se 0,25 mm. Me këtë imtësi bluarje, gjatë kalimit në lëng të rëndë me dendësi $1,9 \text{ gr/cm}^3$. hiri zbret në masën 20-30%.

Sasia e ndieshme e maceraleve të grupit të eksinitit, aftësia reflektose më e madhe e vitrinitit prej 0,7%, dhe sasia e vogël e maceraleve të grupit të inertinit (4-5%) bëjnë që qomyri të ketë aftësi lidhëse edhe me hi 20-25%.

LITERATURA

- 1 — Bibaja P., Hajnaj L., Çako J., Kita P. — Studimi tematiko-përgjithësues për sqarimin e perspektivës së gjetjes së vendburimeve të koksifikuveshme. Tiranë, 1980.
- 2 — Dimo Ll., Pine V., Pashko P. etj. — Studimi tematiko-përgjithësues i strukturës Gorë-Mokër. Tiranë, 1980.
- 3 — Dimo Ll., Pashko P., Pine V. etj. — Rreth kushteve të formimit dhe perspektivës qymyrmbartëse të depozitimeve molasike të ultësirës së Korçës. Buletini i Shkencave Gjeologjike, nr. 4, 1982.
- 4 — Pashko P. — Biostratigrafia, molusqet dhe nomenklatura e depozitimeve oligocenike të Moravës. Përbledhje Studimesh, nr. 3, 1977.
- 5 — Pashko P., Papa A., Huqi B. — Sratigrafia e depozitimeve paleogjenike dhe neogenike në zonën tektonike të Mirditës. Tiranë, 1973.
- 6 — Petro Th., Hyseni B. — Mbi ndërtimin gjeologjik, strukturor dhe perspektivën mineralmbartëse të rajonit të Moravës e të Qarr-Malit të Kuq. Korçë, 1982.
- 7 — Petro Th. — Fakte dhe interpretime të tjera për gjeologjinë e rajonit të Korçës. Përbledhje Studimesh, nr. 3, 1980.
- 8 — Vaso P. — Analyse séquentielle du gisement de Drenovë et étude petrographique des couches de charbon. Tezë doktorate e ciklit të tretë). Tiranë, 1983.
- 9 — Alpern B., Bouroz Ch. etj. — Pétrologie des charbons. Annal. Geol. Nord,

- 10 — Alpern B. — Essai de classification des combustibles fossiles solides. Doc Techn., 1979.
 11 — Lexique international de pétrographie des charbons 2^e, édition, 1963.

Dorézuar në redaksi
 në mars 1983.

S u m m a r y

PETROGRAPHICAL COMPOSITION AND DEGREE OF METAMORPHISM OF COALS OF THE MBORJE-DRENOVA BASIN

On this article treats the petrographical study with reflected light and imersion carried out for three main layers of the Mborje-Drenova basin.

The main results gained are as follows:

1. The vitrinite group (from 58% to 63% of organic matter) and Exinite one (28.8%-35.7%) predominate in three layers. The percentage of the Inertinite group is very low (3-6%).
2. Collinite is predominant macerale.

In general, the mineral matter is very fine (50-60 micron to 150-200 micron) and it occupies over 25% of combustible masses in volum. The best cleaning result is obtained from a grining less the 250 micron.

The average of reflected ability of three layers is 0,65%. Hence, we may conclude that this coal is included in mixed coal facie of vitreous type (Alpenne, 1981) but rich in exinites. The latter explains the high percentage of fluorine matter.

Based on reflected ability and macerale composition we may assumed that this combustible matter is included in long flaming coals — bright lignites.

Fig. 1. Histogramme of macerales of Mborje-Drenova coals.

1. Telinite 4,8%; 2. Collinite 39,1%; 3. Vitrodetrinite 3,7%; 4. Sporenite 13,1%;
5. Cutinite 5,8%; 6. Rhezinite 0,9%; 7. Liphodetrinite 3,7%; 8. Fusinite 0,3%;
9. Semifusinite 1,4%; 10. Massive macrinite 0,8%; 11. Fine micrinite 0,5%; 12. Sclerotinite 0,5%; 13. Inertodetrinite 0,2%; 14. Mineral matter 25,2%.

Fig. 2. Histogrammes of reflected ability of coal layers.

1. Upper layer; 2. Middle layer; 3. Lower layer.

Photo 1: Vitrinite with a little micrinite. Magnified 60x10.

Photo 2. Carpcollinite with pyrite drops. Magnified 60x10.

Photo 3. Carpcollinite aggregate. Magnified 60x10.

Photo 4. Carpcollinite phlogofinite aggregate on both sides; gelinite in the middle part.

Photo 5. Humotelinite.

Photo 6. Macro and microspores arranged within collinite.

Photo 7. Undulated cuticles.

Photo 8. Semifusinite.

Photo 9. Fine micrinite and spores dispersed in the collinite masses. Magnified 60x10.

Photo 10. Sclerotinite accumulations.

Photo 11 Pyrite accumulations.

Photo 12. Pyrite tromboides; down mezinite black in colour.

Résumé

COMPOSITION PETROGRAPHIQUE ET LE DEGRE DE HOUILIFICATION DES CHARBONS DU BASSIN DE MBORJE-DRENOVË

L'article présente l'étude pétrographique en lumière réfléchie, en immersion, faite sur trois veines du bassin de Mborje-Drenovë.

Les résultats obtenus sont les suivants:

— Dans les trois veines prédominent les maceraux des groupes de vitrinite (de 58 à 63%) et d'exinite (de 28,8 à 35,7%). Le pourcentage d'inertinite est très faible (de 3 à 6%).

— Le maceral prédominant est la collinite.

— Les matières minérales sont sous forme d'interlamination microscopique de 50-60 microns à 15-200 microns et elles constituent plus de 25% de la masse du combustible. Le meilleur résultat de lavabilité permet d'obtenir d'un broyage de moins de 250 micron.

— Le pouvoir réflecteur moyen pour les trois véines est de 0,65%.

Ces résultats font ressortir les conclusions ci-dessous:

Ce combustible appartient au faciès mixte charbonneux du type vitrit (9) mais qui est très riche en exinite (qui explique le pourcentage élevé en matière volatile).

Tenir compte du pouvoir réflecteur et l'anaylse macerala ce charbon appartient aux houilles flambants secs-lignite brillant.

Fig. 1: Histogramms des maceraux du charbon de Mborje-Drenovë.

1 — Telinite 4,8%; 2 — collinite 39,1%; 3 — vitrodetrinite 3,7%; 4 — sporinite 13,1%; 5 — cutinite 5,8%; 6 — resinite 0,9%; 7 — liptodetrinite 3,7%; 8 — fusinite 0,3%; 9 — semifusinite 1,4%; 10 — macrinite massive 0,8%; 11 — macrinite fine 0,5%; 12 — sclerotinite 0,5%; 13 — inertodetrinite 0,2%; 14 — les matières minérales 25,2%.

Fig. 2: Reflectogramme du pouvoir réflecteur des couches du charbon.

1 — La couche supérieur; 2 — la couche moyenne; 3 — la couche inférieur.

Photo 1: Vitrinite, peu de micrinite. Agrandiss. (60x10).

Photo 2: Corpocallinite à pyrite dispersé. Agrandissement (60x10).

Photo 3: Agrégat corpocollinite. Agrandissement (60x10).

Photo 4: Ulminite, agrégat corpocollinite, phlobaphinite (dans deux côté). gélocollinite (au milieu).

Photo 5: Humotelinite.

Photo 6: Macro et microspore situés entre la collinite.

Photo 7: Cuticules dentelées.

Photo 8: Semifusinite.

Photo 9: Macrinite fine et les spores dispersés dans la masse de la collinite. Agrandissement (60x10).

Photo 10: Rassemblement des sclerotes.

Photo 11: Rassemblement des pyrites.

Photo 12: Les phramboïdes des pyrites, au-dessous resinite à couleur noire.

Mineralat e dobishme

SAKTËSIA E VLERËSIMIT TË PËRMBAJTJES SË PËRBËRËSIT TË DOBISHËM TË VENDBURIMIT TE KROMIT NË BULQIZË NËPËRMJET PUNIMEVE MINERARE DHE SHPIMEVE

— Saim Keta*, Mark Pepkola** —

Jepen rrjedhimet e një analize të thellë të materialit faktik të vendburimit, në bazë të së cilës del në pah nevoja e përdorimit të koeficientëve të korrigimit, me qëllim që vlerësimi cilësor i tij të jetë sa më afër së vërtetës për nga përbajtja e përbërësit kimik të dobishëm.

H Y R J E

Duke vene në jetë orientimet e Kongresit të 8-të të Partisë dhe mësimet dritëdhënëse të udhëheqësit të Partisë e të popullit tonë shokut Enver Hoxha, patëm për qëllim që, në bazë të materialit të bollshëm faktik të shërbimit gjeologo-markshederik të minierës si dhe në atë gjeologjik të vendburimit të Kromit në Bulqizë të nxjerrim në pah vlerësimin cilësor të rezervave të xehorit të kromit në këtë vendburim.

Meqenëse zbulimi paraprak, zbulimi i hollësishëm dhe zbulim-shfrytëzimi po intensifikohen gjithnjë e më shumë, ne specialistëve të shërbimit gjeologjik e minerar na shtrohet detyra për saktësimin e parametreve të llogaritjes së rezervave minerale. Për përsosjen e teknologjisë së shfrytëzimit, për pakësimin e humbjeve e të varfëritimit, për projektime të mbështetura në kritere sa më racionale e shkencore, lipset tūs saktësojmë të dhënat e zbulimit paraprak, të zbulimit të hollësishëm e të zbulim-shfrytëzimit mbi bazën e ballafaqimit të pjesës së njohur tashmë plotësisht me pjesën e zbuluar. Kjo kushtëzohet edhe nga niveli i njohjes së ligjësive lidhur me karakterin e njëtrajtshëm dhe homogjen të shpërndarjes së përbërësve kimikë të vendburimit etj.

* Ndërmarrja Gjeologjike e Bulqizës.

** Ndërmarrja Minerare e Kromit «Todo Manço» në Bulqizë.

8 — Provat e marra nga shpimet dhe ato brazdore, si në vendburimin e Bulqizës, ashtu edhe në vendburime të tjera të ngjashme, duhen kontrolluar me mënyra të tjera provëmarrjeje, qoftë për t'i vlerësuar ato, qoftë për të përmirësuar zbatimin e tyre, në mënyrë që gjetja dhe vënia në lëvizje e rezervave të xehororit të realizohet mbi bazën e një disipline të shëndoshë dhe të rreptë teknike e shkencore.

L I T E R A T U R A

- 1 — Ceka A., Kola J. — Varësia dhe shpërndarja e përbërësve kimikë të dobi-shëm dhe problemi i rrallimit të provave brazdore në vendburimin e kromit në Bulqizë. Bulqizë, 1967.
- 2 — Çina A. — Të dhëna për xehororët e kromit të masivit ultrabazik të Kukësit dhe mendime për gjenezën e tyre. Përbledhje Studimesh, nr. 3 (16), 1970.
- 3 — Dede S., Çili P. etj. — Raport i studimeve tematiko-përgjithësuese për ndërtimin gjeologo-strukturor dhe sqarimin e perspektivës së krombartjes në masivin ultrabazik të Bulqizës. Tiranë, 1971.
- 4 — Dede S., Çili P. etj. — Mbi vazhdimin verior të strukturës së vendburimit të kromit në Bulqizë. Përbledhje Studimesh, nr. 1, 1971.
- 5 — Keta S. — Ligjësitë e përhapjes së mineralizimit dhe saktësia e vlerësimit të përbajtjes me mënyrat ekzistuese të provëmarrjes në vendburimin e kromit në Bulqizë. Botim i UT. Tiranë, 1979.
- 6 — Kola J., Myrtezai Gj. etj. — Raport gjeologjik për llogaritjen e rezervave me gjendje 1.1.1973 në vendburimin e Bulqizës. Bulqizë, 1973.
- 7 — Kola J., Myrtezai N., Sema T. — Disa veçori të tektonikës së pasmineralizimit në vendburimin e kromit në Bulqizë. Bulqizë, 1969.
- 8 — Kola J., Hoxha P. — Mendime për kushtet e formimit të vendburimit të kromit në Bulqizë. Përbledhje Studimesh, nr. 2, 1978.
- 9 — Kola J. — Shkalla e sigurisë së provëmarrjes brazdore. Bulqizë, 1979.
- 10 — Premti I., Thanasi Q. — Disiplinë e rreptë shkencore, studime të thella komplekse. Përbledhje Studimesh, nr. 1, 1978.
- 11 — Qorlaze S., Kola J. — Raport gjeologjik me llogaritjen e rezervave me gjendje 1.1.1968 në vendburimin e Bulqizës. Bulqizë, 1968.
- 12 — Rregullorja e shërbimit gjeologjik dhe e shërbimit gjeologo-markshederik në ndërmarrjet gjeologjike dhe në ato minerare. Tiranë, 1978.

Dorëzuor në redaksi në prill 1982.

S u m m a r y

THE ACCURACY IN THE EVALUATION OF THE CONTENT OF THE USEFULL COMPONENT OF THE BULQIZA CHROM ORE DEPOSIT THROUGH MINERAL WORKS AND DRILLINGS

This paper deals with essential phases of research — exploration in the ore deposit of Bulqiza during the last three decades, harmonizing them between them, since preliminary research including detailed exploration, exploration and exploitation up to rhythmic and scientific exploitation.

Because of the continually intensification of the production, the geologic and mining service has been set the task of precising of the parametres of the calculation of mineral reserves, one of which is the content of the usefull chemical component in chrome ore. It is precisely the most accurate evaluation of this parametre that this article has been devoted too.

This paper gives a synthesis of the existing tactic material of Geologic and Mining Enterprises, on the bases of which have been calculated the average moderate content of the useful component for ore blocks, margins, bodies, parts of ore deposit and for the ore deposit as a whole.

Based on analyses of this tactic material, the authors arrive at the conclusion that an unconformity exists between the data of samples extracted from drillings and the furrowing ones taken during mining works. Since, the percentage of samples' emergence of the interval of the contact of ore body is low, the content of usefull component will be low too, because the ore is more easily crushed by the drilling instrument.

Even the furrowing samples in 2/3 of cases do not represent entirely the ore they have been taken from. Therefore they are to be combined with another way as that with holes or with united dety one.

The comparison of the da'a of volume samples and that of superficial ones reveals that the furrowing samples into 2/3 of cases, which may cover the thickening parametre, give an evaluation of two units below the volume ones, as regards the deposit as a whole; whereas the samples taken from drillings give an evaluation four units lower.

The authors draw the respective correction coefficients of the content of usefull chemical component both for samples from drillings and from furrowings, 0,08 and 0,04 respectively. These coefficients must be used so long as the samples do not represent the place they have been taken from and are of a designing value.

They must be used for group samples and not for individual samples and can be also accounted for other similar ore deposits and minerals.

Fig. 1: Scheme of the extraction of the furrowing samples on the front of mining work.

1. The ore body on the front of mining work;
2. Furrowing line through which the samples are taken;
3. The barren rock on the front of mining work.

Fig. 2: Scheme of the extraction of the successive furrowing samples of work for every 5 metres.

Fig. 3: The light space of mining work, which does not cover the thickness of the ore body.

Fig. 4: Thickness of ore body is greater than light space of mining work and the latter is situated on the paved side (on the floor) of the ore body (cross section).

Fig. 5: As in fig. 4, but in this case mining work is situated on the ceiling side of the ore body (cross section).

Fig. 6: The thickness of ore body is included within light space of the mining work (cross section).

R a s u m ē

**L'EXACTITUDE DE LA VALORISATION DU CONTENU DE CONSTITUANT
UTILE DANS LE GISEMENT DE CHROME DE BULQIZA, SELON
LES TRAVAUX MINIERS ET LES SONDAGES GÉOLOGIQUES**

Dans cet article sont traitées les étapes principales de la recherche et de la découverte du gisement de Bulqiza pendant les 3 dernières décades, en les harmonisant entre elles, à partir de la recherche préliminaire et en comprenant la découverte préliminaire, celle détaillée, la découverte d'exploitation et enfin l'exploitation proprement dite rythmique et scientifique.

Etant donné que la production s'est continuellement intensifiée, il incombe aux services-géologiques et minier la tâche de préciser l'exactitude des paramètres utilisés dans le calcul des réserves de minerai, l'un desquels est également de contenu du constituant chimique utile (principal dans le minerai du chrome). C'est précisément à la valorisation la plus exacte de ce paramètres, qu'est consacré cet article.

Dans l'étude est présenté la synthèse du matériel de fait existant, auprès l'entreprise géologique et celle minière, à l'appui duquel ont été calculés les contenus ponderés moyens du constituant utile dans les blocs de minerai métallifère, dans les parties adjacentes, dans les coups de minerai, pour certaines parties du gisement et pour tout le gisement en général.

De l'analyse de ce matériel de fait, les auteurs tirent la conclusion, qu'il existe une différence marquée dans la concordance entre les données des essais sur les échantillons prélevés à travers les sondages et ceux provenant des sillons effectués dans les fronts de creusement des galeries.

Etant donné que le pourcentage de l'extraction de l'échantillon dans l'intervalle de la rencontre du corps de minerai est bas, le contenu du constituant utile est également réduit, puisque le minerai est facilement friable sous l'effet de l'instrument du forage.

Même les échantillons obtenus moyennant le creusement des sillons, dans les 2/3 des ces couvre le paramètre de l'épaisseur, ne représentent pas le minerai à l'endroit où ont été pris. De ce fait, ils donnent pour le gisement en général, une valorisation de 2 unités moins que celle déduite des échantillons de volume, tandis que la valorisation des échantillons pris au moyen des sondages, résulte 4 fois plus basse.

Les auteurs déduisent les coefficients correspondants de correction à faire sur le contenu du constituant chimique utile pour les échantillons prélevés dans les sondages et pour ceux obtenus en moyen le creusement des sillons, respectivement éraux à 0,08 et 0,04. Ces coefficients doivent être employés, chaque fois que les échantillons utilisés, ne représentent pas l'endroit où ont été pris et de ce fait ils n'ont de valeur que pour la préparation des projets. Ces coefficients doivent être utilisés pour les échantillons groupés et non pour des échantillons individuels. Ils peuvent servir même pour d'autres gisements minéraux semblables.

Fig. 1: Schéma de la prise des échantillons au moyen de sillons ouverts dans le front de creusement d'un galerie.

1 — Corps du minerai ou front de la galerie; 2 — le sillon à travers lequel est pris l'échantillon; 3 — roche stérile dans le front de creusement de la galerie.

- Fig. 2: Schéma de la prise continue des échantillons tous les 5 mètres du front de creusement.
- Fig. 3: Section brute du front de creusement d'une galerie qui ne recouvre pas l'épaisseur du minerai.
- Fig. 4: L'épaisseur du corps métallifère est plus grande que la section brute de la galerie en creusement (coupe transversale) et la galerie se trouve au mur du corps de minerai (coupe transversale).
- Fig. 5: Comme dans la figure 4, mais dans ce cas la galerie en creusement se trouve au toit de corps du minerai métallifère (coupe transversale).
- Fig. 6: L'épaisseur du corps de minerai métallifère est comprise à l'intérieur de la section brute de la galerie en creusement (coupe transversale).

BRETH PËRBËRJES LITOLOGO - FACIALE E LËNDORE TË HORIZONTIT FOSFATMBARTËS TË KRETAKUT TË SIPËRM NË ZONËN JONIKE

— AFAT SERJANI*, MARIE KOÇI* —

Paraqiten rezultate të analizave kimike dhe mendime për përbërjen kimike të argjilave të dyshemesë dhe të vetë horizontit fosfatik. Janë nxjerrë marrëdhëniet bashkëlidhëse midis përbërësve të ndryshëm në shtresat fosfatike.

LIDHUR ME PËRBËRJEN LITOLOGO-FACIALE E PETROGRAFIKE TË HORIZONTIT FOSFATMBARTËS TË KRETAKUT TË SIPËRM

Horizonti fosfatmbartës i kretakut të sipërm përbën në vvetvete një seri ose një kompleks me ndërthurje karbonato-fosfato-silicore. Ai është një horizont i rregullt litologo-stratigrafik dhe mineral në të gjithë zonën tektonike Jonike, si brenda kufijve të atdheut tonë, ashtu dhe në Greqi (9).

Ky horizont ka një përhapje të madhe në sipërfaqe. Në tërë strukturat e takuara horizonti përbën një kompleks karbonato-fosfato-silicor tipik shtresor sedimentar, me veçori karakteristike gjeosinklinale. Ndodhet kudo brenda depozitimeve të fuqishme karbonato-silicore të kretakut të sipërm me origjinë kimike detare. Është shumë i rrudhosur dhe i koklavitur nga thyerje të dendura tektonike.

Horizonti karbonato-fosfato-silicor nis menjëherë mbi një shtresë argjilore të ndërthurur me gëlqerorë mergelorë e argjilorë, që shërbejnë si taban i horizontit fosfatik. Argjilat kanë trashësi 10-50 cm, janë ngjyrë bezhë, hiri dhe, vende-vende, me nuanca të gjelbra. Midis ndërshtresave argjilo-mergelore, në trajtë thjerrzash e folesh, ndërthuren depozitime të mineraleve manganore e hekuore (okside e hidrokside të tyre) dhe, rrallë, lëndë asfalto-bituminore me ngjyrë kafe të errët, kafe-verdhacake e me përzierje të lëndës fosfatike e karbonatike mikrodispersore.

Në përgjithësi, horizonti fosfatik vendoset me pajtim stratigrafik e këndor mbi pakon argjilore dhe shtresat poshtë saj. Studimet e kryera

LITERATURA

- 1 — *Bajo I.* — Karakteristikat litologo-faciale të horizontit fosfatik të kretakut të sipërm në vargun strukturor të Kurveleshit. Përbledhje Studimesh, nr. 1, 1971.
- 2 — *Gucaj A., Serjani A., Laska S.* — Raport gjeologjik për zbulimin e një vendburimi fosforitesh. Gjirokastër, 1977.
- 3 — *Husi R.* — Shkëputjet tektonike të kulmeve të strukturave dhe roli i tyre në ruajtjen e këtyre kulmeve. Përbledhje Studimesh, nr. 1, 1978.
- 4 — *Meçe B.* — Karakteristika litologo-petrografike të gëlqerorëve fosfatikë të kretakut të sipërm në zonën Jonike dhe origjina e tyre. Nafta dhe Gazi, nr. 2, 1977.
- 5 — *Nika Th., Husi R.* — Një përfytyrim më i plotë i ndërtimit gjeologjik të nën-zonës qendrore të zonës Jonike. Përbledhje Studimesh, nr. 1, 1976.
- 6 — *Serjani A.* — Mbi strukturën e përbysur të Bejküs në rrafshlartën e Kurveleshit. Përbledhje Studimesh, nr. 1, 1976.
- 7 — *Arthur M. A., Jenkyns N. C.* — Phosphorites and paleoceanography. Oceanologica acta, 1981 NSP (Referat në Kongresin e 26-të Ndërkombetar Gjeologjik). Paris, 1980.
- 8 — *Fesjunov O. E.* — Himiçeskoe, soderzhanie zhelezo-margancervih obrazovani v podvodnih hrebtah indiskovo okeana. Litologija i paleznje iskopajemie, nr. 2, 1981.
- 9 — *Stilian V., Skurnakis.* — Fosforitet. Artikull në librin «Mineralet e Dobishme të Greqisë». Përkthim.

Summary

ON THE LITHOLOGICAL-FACIAL AND MATTER COMPOSITION OF THE UPPER CRETACEOUS PHOSPHATEBEARING HORIZON OF THE JONIAN ZONE

Phosphatic horizon of the Upper Cretaceous and floor argillas, which constitute a reper stable horizon are described on this article.

The Carbonaceous-phosphatic-siliceous complex represents in itself regular lithological-facial and mineral horizon throughout the tectonic Ionian zone. That is a stratified sedimentary deposition with typical geosynclinal features. The abujdance in planctonic foraminifers make it that possible to call this serie as Globotruncanites. The presence of planctonic foraminifers (Globotruncana) is a characteristic which distinguish this phosphatebearing horizon from known phosphatic mineralizations.

Based on thermic-differential studies and chemical analyses the authors are of the opinion that the argillaceous matter belonged to the group of hydromicas. In phosphatic strata is observed a relatively high content of F, Na₂O, Sr, V. In the cases of physical-chemical alteration of this serie is observed an increase of the P₂O₅, SiO₂, Al₂O₃ content and a reduction of CaO content. From the statistical analyses results a high correlative connection between P₂O₅-CO₂ (— 0920), CaO-SiO₂ (— 0979), MnO-Fe₂O₃ (+ 0940), P₂O₅-F (+ 0624) and SiO₂-SO₃, S (+ 651) components. The factorial analyses of the data of chemical content of phosphorites reveal that over the conservation of environment for

the formation of phosphorites have their influence three main factors, which are clearly expressed in the case of the formation of the strata rich in phosphorite. In general, in the Ionian zone, carbonaceous-phosphatic-siliceous horizon is deposited in deep sea conditions with normal salty and temperature and a hot climate. But there are not everywhere deep sea conditions. At the anticlinal belt of Kurveleshi, in central structural chain of Mali i Gjatë — Mali i Thatë — Mali i Bejkës — Qafëbletaj we have had a relatively higher but shallower zone, where rich phosphorites and neritic massive limestones have been deposited at the top of it. Cleaning has also occurred in some parts. In these conditions, on the bottom sea ooz, phosphatic matter together with organic carbon is deposited. Whereas the formation of phosphorites and consolidation of phosphatic lining is made as a result of the reactions in sediments rich in phosphor, during diagenetic phases. For this evidence is also given by the phenomena of phosphatization of rock and shells of numerous globotruncanas.

Fig. 1. Lithological-facial column of the phosphatic horizon with data of chemical analyses.

Fig. 2. Dispersing of Thickness, average content and metrepercentage indicator.

A. Anticlinal belt of Çika; B. Anticlinal belt of Kurveleshi; C. Anticlinal belt of Lunxhëri-Bureto; Ç. Anticlinal belt of Nemërkëa.

1. Average pondered content; 2. Metrepercentage indicator; 3. Average thickness.

Fig. 3. Above: diagram of ratio of the average content of phosphatic limestones and phosphorites against the general thickness of the horizon; below; the diagram of average thickness of strata (1) and average thickness of limestones, cherts and phosphorite strata in horizon (2 cm).

Fig. 4,5,6. Diagrams of reciprocal dependence between P_2O_5 and F. P_2O_5 , and CO_2 CaO and SiO_2

Résumé

SUR LA COMPOSITION LITHOLOGO-FACIALE ET MATRICIEL DU NIVEAU PHOSPATIQUE DE CRÉTACE SUPERIEUR DANS LA ZONE JONIENNE

Dans l'article sont décrits le niveau phosphatique du Crétacé Supérieur et des argiles du mur qui présente un nouveau réparé stable. Le complexe carbonato-phosphato-siliceux il même présente un horizont régulière lithologo-stratigraphique qui s'étend dans la zone tectonique Jonienne. Ce complexe est un dépôt sédimentaire stratifié à des traits typiques géosynclinale. Cette série, au fur à mesure de quantité notable du foraminifer planctonique, l'on peut nommer la série de globotruncana. La présence des foraminifer planctonique, de *Globotruncana sp.* est une particularité qui distingue ce niveau phosphatogène par rapport des minéralisations phosphates connues.

A partir des études thermo-différentielles et des analyses chimiques les auteurs pensent que les matériaux argileux appartient aux groupes des hidromicas. Dans les couches phosphatées on y voit des pourcentages plus au moins élevés de F, Na₂O, Sr, V. Dans les cas d'altération physico-chimiques de cette série on y observe une augmentation du pourcentage de P_2O_5 - CO_2 (+0920), CaO- SiO_2 (-0979), MnO- Fe_2O_3 (+0940), P_2O_5 -F (+0624) et de SiO_2 -SO₃, S (+0651). Les analyses factorielles et des données chimiques des phosphates résultés, que pour garder le mi-

lieux de la formation des phosphates agissent trois facteurs principaux, dont sont exprimés mieux dans le cas de la formation des couches riches phosphatées. Dans la zone ionienne les dépôts carbonato-phosphato-siliceux sont déposés dans les conditions d'une mer pélagique à la salinité et la température normale et dans un climat chaud. Mais les conditions ont été d'une mer profonde. Dans la bande anticlinale du Kurvelesh, en chaîne structurelle centrale montagneuse Gjate-Thate-Bejke-Qafëbletaj ont en une zone surélevée relativement peu profonde que les dépôts où sont déposés les phosphate riche et leur roche calcaire massive néritique. Dans quelque endroit pendant sédimentation ont eu le remaniement. Dans ces conditions en boue du fond de la mer est déposée la matière phosphatée avec le carbon organique. Tandis que la formation des phosphorites et sa compacité des filets phosphatique sont effectuées comme résultats des réactions internes dans les boues riche en phosphate pendant la phase diagénétique. Pour cela témoigne ainsi le phénomène de phosphatation des roches et de nombreuses coquilles de *Globotruncana*.

Fig. 1: Coupe lithologo-facial du niveau phosphatique et les données d'analyse chimique.

Fig. 2: Répartition d'épaisseur, du teneur moyen et les incices du mètre pourcent.

a — Chaîne anticlinale de Çike; b — chaîne anticlinale de Kurvelesh;
c — chaîne anticlinale de Luxheri-Buretos; ç — chaîne anticlinale de Nemerçke.

1 — Le taux moyen pondéré; 2 — index de mètre pourcentage; 3
l'épaisseur moyenne.

Fig. 3: Au-dessus, le graphique de rapport entre l'épaisseur moyenne de calcaire phosphatique et de mineral phosphatique par rapport à l'épaisseur totale du horizon, au-dessous — le graphique d'épaisseur moyenne des couches (1) et celle des couches de calcaire, de silex et de phosphorite (2 cm).

Fig. 4. 5. 6: Les graphiques de corrélation de P_2O_5 et F, P_2O_5 ; et CO_2 , CaO et SiO_2 .

Gjeologji inxhinierike

PRODHIMET E TJETËRSIMIT DHE VECORITË NDERTUESE TË TYRE

— NIKOLLA KONOMI*, LUTFI KAPLLANI** —

Trajtohen prodhimet e tjetërsimit të argjilave të piaçencianit, që shërbejnë si bazamente për objektet inxhinierike të qytetit të Vlorës, dhe problemet që nxjerrin ato në ndërtim.

Në zbatim të direktivave të Kongresit të 8-të të Partisë lidhur me uljen e kostos së ndërtimeve, u ndërmor studimi i argjilave të piaçencianit, ose të suitës së Helmësit, në qytetin e Vlorës, meqenëse përvoja e grumbulluar për ndërtimin e objekteve me themel të cekët në prodhimet e tjetërsimit ka nxjerrë në pah deformime të ndryshme, si çarje të suvasë e të mureve, për riparimin e të cilave bëhen shumë shpenzime.

Nëpërmjet analizave laboratorike dhe dokumentimeve të kryera në terren, u bë studimi i korës së tjetërsimit, u vlerësua ajo nga pikëpamja gjeologo-inxhinierike dhe iu dha rrugëzgjidhje vendvendosjes së bazamenteve të objekteve inxhinierike, në mënyrë që ato të punojnë normalisht, pa u deformuar, në lidhje me kohën.

* * *

Argjilat e suitës së Helmësit kanë një përhapje të gjërë në qytetin e Vlorës. Ato ndërtojnë pjesën kodrinore të tij. Si të tilla, shërbejnë jo vetm si lëndë ndërtimi (tulla, tjegulla etj.), por edhe si vendvendosje e objekteve të ndryshme inxhinierike. Edhe në të ardhmen, si rrjedhojë e zhvillimit të vrullshëm të qytetit, këto depozitime do të bëhen mqedise të ndërtimeve të ndryshme. Njohja e thellësisë së vendosjes së bazamenteve dhe shfrytëzimi normal i tyre në varësi të kohës, lidhen drejtpërsëdrejti me njohjen e thellë të kushteve gjeologo-inxhinierike të sheshit

* Fakulteti i Gjeologjisë dhe i Minerave Universitetit të Tiranës.

** Ndërmarrja Gjeofizike e Tiranës.

në 2-2,2 m. Në rast se ata ndodhen thellë, atëherë vendosja e themelive të cekta, nga njëra anë, duhet të bëhet me jastëkë zhavorresh me trashësi 30-50 cm, të cilët bëhen pengesë në zhvillimin e zonës së ndikimit të agjentëve atmosferikë; nga ana tjetër, duhet një sistemim i mirë i ujërave sipërsaqësore. Tavani i jastëkut duhet të jetë në thellësinë më të madhe se 0,8 m nga sipërsaqja e tokës, meqenëse kjo zonë karakterizohet nga një garshmëri e theksuar.

PËRFUNDIME

Argjilat e piagacionit, falë problemit që nxjerrin gjatë ndërtimeve, duhet të trajtohen si shkëmbinj me veçori të posaçme, domethënë për ato nuk ka kuptim dhënia e rezistencës së lejuar. Për këtë arsy, studimet gjeologo-inxhinierike duhet të orientohen në drejtim të përcaktimit të thellësisë së kores së tjetërsuar dhe të thellësisë së vendosjes së shkëmbinjve rrënjosorë. Në rast se trashësia e prodhimeve të tjetërsimit është e madhe, atëherë duhet të rekomandohen edhe masat përkatëse, në përshtatje me kushtet konkrete të sheshit, të ndërtimit. Në mënyrë të ngashme duhet vepruar edhe për sheshet e tjera, që ndërtohen nga suargjila ose argjila të rënda ngjyrë hiri të myllur, ose të kaltërt, të cilat kanë një shkallë të lartë të argjilizimit, aq më tepërik kjo shkallë e argjilizimit përbëhet nga hidromika dhe montmoriloniti.

Si masë më efikase për projektimin dhe shfrytëzimin normal të objektit të vogël ose të madh me themel të cekët, është vendosja e themelit nën trashësinë e prodhimeve eluviale, e cila përfshihet brenda zonës së ndikimit të agjentëve atmosferikë, ose në trashësinë e kores së tjetërsuar, por duke përdorur jastëkë mbrojtës.

LITERATURA

- 1 — Konomi N. etj. — Gjeologjia Inxhinierike (I). Tiranë, 1986.
- 2 — Mezini A. etj. — Përgjithësimi gjeologo-gjeofizik i rajonit Vlorë-Nartë. Fier, 1977.
- 3 — Muço M. etj. — Përgjithësimi i studimeve gjeologo-gjeofiziko-inxhinierike në rezervuarët e zonave karstike. Tiranë, 1982.
- 4 — Thomaj L. etj. — Ndërtimi gjeologjik dhe perspektiva naftëgazmbartëse e rajonit të Vlorës. Fier, 1987.
- 5 — Comberford H. — Reconnaissance de sols et fontations spéciales. Paris.

Dorëzuar në redaksi në janar 1983.

Summary

ALIENATED PRODUCTION AND THEIR CONSTRUCTION FEATURES

The results of the study carried out in connection with alienated productions are given on this article.

The complex geological-geophysical study carried out for all alienated core have determined its thickness and physical-mechanical features for construction purpose of engineering objects of a shallow fondation. It was done on the argilla-

ceous rocks of the Piacensian (the Helmësi suite), along all their extention in the city of Vlora. The thicknes of the core derives from 1 to 2.20 m. Starting from the surface towards depth, the alienate intensity keeps diminishing, a think which is expressed not only by the decrease of matrice matter drawn through granulometric analysis and the other physical indicators, but also by the diminishing of the number of splitting for ml., also expressed by the decrease of the visibly resistance in omm.

Based on the study of alienated core has been recommended the depth of the setting of shallow foundations in the cases without artificial basement and in the cases when it is necessary to place gravelly pillows, in order that the object works in normal conditions.

Fig. 1. The setting scheme of Piacensian deposits and delluvial productions.

1. The yellowish delluvial coastal sands; 2. The azure lagoonal suargillas;
3. The yellowish delluvial suargillas; 4. Present day fillings; 5. Drilling 8.
- N_1^3 . The Messinian deposits; N_1^2 . The Tortonian deposits; N_2^1 . The Piacensian deposits.

Fig. 2. The geologic section of Kuzbaba

1. Interbeding of grey-blueish argillas with sandstones; in the upper part the argillas are yellow in color; 2. The dark grey argillas; 3. Gypsum.

Fig. 3. The geological column at drilling 8.

- a. Yellowish delluvial suargillas; b. Yellowish-blueish lagoonal suargillas;
- c. Brown susands, which pass into sands.

Fig. 4. The envelope of granulometric curves.

1. Yellowish delluvial suargillas; 2. The alienated argillas.

Fig. 5. The thermic analysis for alienated argillas.

- 1, 2. The argillas of alienated core; 3. Yellowish delluvial suargillas.

Fig. 6. Dependence between volume weight and humidity for delluvial argillas.

Fig. 7. Dependence between number of pasticity and percentage of fraction $< 2 \mu$.

Fig. 8. Dependence of visibly resistance from depth.

1. Alienated argillas; 2. Sands; 3. Gravels; 4. The diagram of visibly resistance.

Fig. 9. Dependence of visibly resistance from the time of observation (the hole nr. 2, depth 0,7 m).

Fig. 10. Dependence of amplitude of the visibly resistance toward the direction of depth (the period of observation 1 month).

Fig. 11. Dependence between visibly resistance and number of splitting.

Résumé

LES PRODUITS D'ALTERATION ET LEUR CARACTÉRISTIQUE DE LA CONSTRUCTION

L'article présente les résultats d'étude effectuée sur les produits d'altération.

L'étude complexe géologo-géophysique effectuée pour toute la croûte d'altération à déterminer l'épaisseur et sa propriété physico-mécanique, en vue de construire des objets d'édifices avec des fondations superficielles. Elle y en effectue sur les roches argileux du Plaisancien (série de Helmës) pendant toute la répartition dans la ville de Vlora. L'épaisseur de la croûte varie de 1 à 2,20 m. A partir de la surface vers la profondeur l'intensité d'altération décroît qui s'exprime non seulement

par la diminution de la matrice déterminée, selon les analyses granulométriques et les autres indices physiques, mais ainsi par la diminution de nombre des fissures par mètre linéaire, exprimé également à la diminution de résistance d'apparition en omm.

A partir de cette étude effectuée pour la croûte d'altération est recommandée la profondeur de placement de la fondation superficielle dans les cas sans soubassement artificiel et également dans les cas lorsqu'on doit établir les couches de gravier, pour que l'objet travaille en condition normale.

Fig. 1: Le schéma de la répartition des dépôts du Plaisancien et les produits déluviale.

1 — Les sables littoraux; 2 — sousargile bleu lagunaire; 3 — sousargile jaune déluviale; 4 — les dépôts contemporaines; 5 — sondage 8.

N_1^3 — Les dépôts de Messinienne; N_1^2 — les dépôts de Tortonienne;
 N_2^{pl} — les dépôts de plaisancien.

Fig. 2: Coupe de Kuzbabajt.

1 — Alternance des argiles grises à bleu avec des grès; à la partie supérieur les argiles sont en couleur jaune; 2 — argile grise sombre; 3 — gypse.

Fig. 3: Coupe géologique du sondage 8.

a — Sousargiles jaunes déluviales; b — sousargiles jaune bleu lagunaire; c — soussables bruns qui passent en sables.

Fig. 4: Enveloppe des courbes granulométriques.

1 — Sousargiles jaunes déluviales; 2 — argiles altérées.

Fig. 5: Analyses thermiques des argiles altérées.

1 et 2 — argiles de la croûte d'altération; 3 — sousargiles jaunes déluviales.

Fig. 6: La dépendance entre le poids volumique et l'humidité des argiles déluviales.

Fig. 7: La dépendance entre le nombre de plasticité et le pourcentage de fraction 2 microns.

Fig. 8: La dépendance entre la résistance apparente et de la profondeur.

1 — Argiles altérées; 2 — sable; 3 — gravier; 4 — le graphique de résistance apparente.

Fig. 9: La dépendance de résistance apparente et du temps d'observation (la fosse nr. 2 profondeur de 0,7 m).

Fig. 10: La dépendance d'aptitude de résistance apparente selon la profondeur (période d'observation 1 mois).

Fig. 11: La dépendance entre la résistance apparente en nombre des fissures.

R é s u m é

QUELQUES OPINIONS SUR LA GÉOLOGIE, LA STRUCTURE ET SUR LA MINERALISATION SULFURE DANS LA BANDE ORIENTALE DE LA ZONE MIRDITA

Dans l'article sont traitées les problèmes de la structure des conditions de localisation, sur la génèse de la mineralisation sulfure de Cuivre dans la série effusivo-sédimentaire de la bande orientale des ophiolites de notre pays.

Les roches de la série effusivo-sédimentaire se voient espacées dans le temps par rapport aux ophiolites de la zone Mirdita, en considérant comme la première phase de leur expulsion sur le socle carbonatique Triasico-Jurasique inférieure qui se poursuit par l'ouverture et élargissement de l'écorce terrestre pour l'apparition des ophiolites du complexe effusif basique-ultrabasique de la Mirdita centrale. On s'appuyant sur ce concept général les auteurs expliquent la perspective de la mineralisation d'origine vulcanogénosédimentaire, non seulement dans la surface de répartition de ces roches, mais également sur la bordure orientale des massifs ultrabasiques qui le recouvre.

L'article, souligne aussi les mineralisations disseminées dans les roches métamorphiques d'origine hydrothermale.

Fig. 1: Coupe géologo-structurale du ruisseau de Bushat.

1 — Calcaire du Crétacé; 2 — croûte d'altération du fer-nickel; 3 — roches ultrabasiques; 4 — roches métamorphiques; 5 — les schiste noir argilo-charbonneux; 6 — roches effusives (diabases); 7 — éléments du pendage; 8 — contact réel; 9 — contact supposé.

Fig. 2: Coupe du corps minéraux.

a — Schiste argilo-siliceux hématitique; b — schiste diabasique chloritisé à grains rares de pyrite; c — schiste diabasique chloritisé à grains plus au moins dense de pyrite; ç — pyrite-chalcopyrite massifs (amas 1); d — roches siliceux hématitiques; dh — schiste argilo-siliceux hématitiques.

1 — Roches siliceux à intercalation des diabases dans la partie supérieure; 2 — pyrite à chalcopyrite massif (amas 2); 3 — roches siliceux hématitique à mineralisation sulfure; 4 — schistes diabasiques chloritisés à grains rares de pyrite; 5 — pyrite-chalcopyrite massifs (amas 1); 6 — roches siliceux hématitique; 7 — schiste argilo-siliceux-hématitique.

Fig. 3: Coupe du corps minéraux.

a — Diabase albite; b — roches siliceux des grains de mineralisation sulfure et magnetite (mouchketovite); c — pyrite-chalcopyrite massif (amas 2); ç — schiste diabasique à grains de la mineralisation sulfure; d — pyrite-chalcopyrite (amas 1); dñ — schiste argilo-siliceux radiolaritique.

1 — Diabase albite; 2 — silex à grains sulfure et de magnetite (mouchketovite); 3 — pyrite-chalcopyrite massif (amas 2); 4 — schiste diabasique à grains sulfure.

Fig. 4: Coupe géologique généralisé pour la partie septentrionale de la région.

1 — Roches ultrabasiques; 2 — schiste amphibolo-chlorito-sericitique; 3 — roche effusive basique (diabases); 4 — schiste noirs; 5 — schistes radiolaritiques; 6 — marnes; 7 — calcaire du T₃-J₂; 8 — les accidents tectonique; 9 — éléments du pendage.